



TITLE:

骨盤内後腹膜Ancient schwannomaの1例

AUTHOR(S):

仲野, 正博; 三輪, 好生; 蟹本, 雄右

CITATION:

仲野, 正博 ...[et al]. 骨盤内後腹膜Ancient schwannomaの1例. 泌尿器科紀要 2001, 47(7): 473-476

ISSUE DATE:

2001-07

URL:

<http://hdl.handle.net/2433/114569>

RIGHT:

骨盤内後腹膜 Ancient schwannoma の1例

掛川市立総合病院泌尿器科 (部長: 蟹本雄右)

仲野 正博*, 三輪 好生, 蟹本 雄右

A CASE OF RETROPERITONEAL ANCIENT SCHWANNOMA IN THE PELVIS

Masahiro NAKANO, Kousei MIWA and Yusuke KANIMOTO

From the Department of Urology, Kakegawa Municipal Hospital

We treated a case of retroperitoneal ancient schwannoma in the pelvis detected incidentally at a health examination without clinical manifestation in a 59-year-old Japanese man found to have hypertension. Computed tomography showed a heterogeneously enhanced 8×7 cm solid mass in the pelvic retroperitoneal space. Magnetic resonance imaging revealed an encapsulated tumor, showing a low intensity on the T1-weighted image, heterogeneously high intensity on the T2-weighted image and the tumor homogeneously enhanced with Gd-DTPA. It was suspected to be a mesenchymal tumor. The tumor was resected en bloc. The histologic examination of the extirpated tumor was an ancient schwannoma. A total of 11 retroperitoneal ancient schwannoma cases were reviewed.

(Acta Urol. Jpn. 47: 473-476, 2001)

Key words: Ancient schwannoma, Retroperitoneal tumor, Neurilemoma

緒 言

Schwannoma は頭頸部や四肢に多く発生し、後腹膜発生例は稀とされてきたが、本邦では既に300例を超える報告がある^{1,2)}。後腹膜発生 schwannoma は、腹痛や腹部腫瘍などの隣接臓器に対する圧迫症状をきっかけに発見される場合が多くみられたが、近年、画像診断の発達と共に、検診や他疾患の精査中などに偶然発見される症例の報告が増加してきている^{1,2)}。今回われわれは、検診をきっかけに偶然発見された骨盤内後腹膜 ancient schwannoma の1例を経験したので報告する。

症 例

患者: 59歳, 男性

主訴: 高血圧, 骨盤内腫瘍

既往歴: 数年前より高血圧を指摘されていたが放置。

家族歴: 特記すべきことなし

現病歴: 2000年2月の検診にて高血圧を指摘され、当院内科受診。高血圧精査中に行ったCT検査にて偶然、骨盤内に腫瘍が認められたため、当科紹介受診。精査目的で2000年3月15日入院した。

入院時現症: 身長 161.5 cm, 体重 57.9 kg, 血圧 146/103 mmHg, 脈拍 66/min (整), 胸部聴診所見,

腹部所見など、理学的所見に異常は認めなかった。

入院時検査成績: 末梢血, 一般検査に異常所見は認めなかった。内分泌学的検査にも異常は認めなかった。

画像所見: 腹部超音波検査所見では、骨盤内に heterogeneous hypoechoic lesion を認めた。CT では骨盤腔やや右側に直径約 7 cm の内部 density が軽度不均一な腫瘍を認めた。Dynamic CT では動脈相早期より不均一に造影された。また、腫瘍は右前仙骨孔の一部に接していた (Fig. 1)。MRI では、腫瘍は T1 で低信号, T2 では軽度不均一な高信号を示した。また、ガドリニウム enhance では比較的均一に enhance された (Fig. 2)。Dynamic MRI では、早期

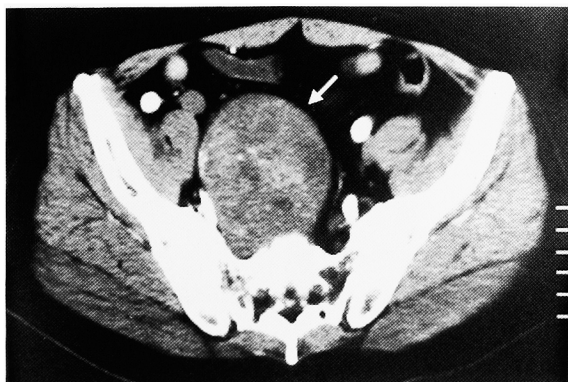


Fig. 1. Dynamic computed tomography demonstrates a slightly enhancing, heterogeneous solid mass in the pelvis (arrow).

* 現: 岐阜大学医学部泌尿器科学教室

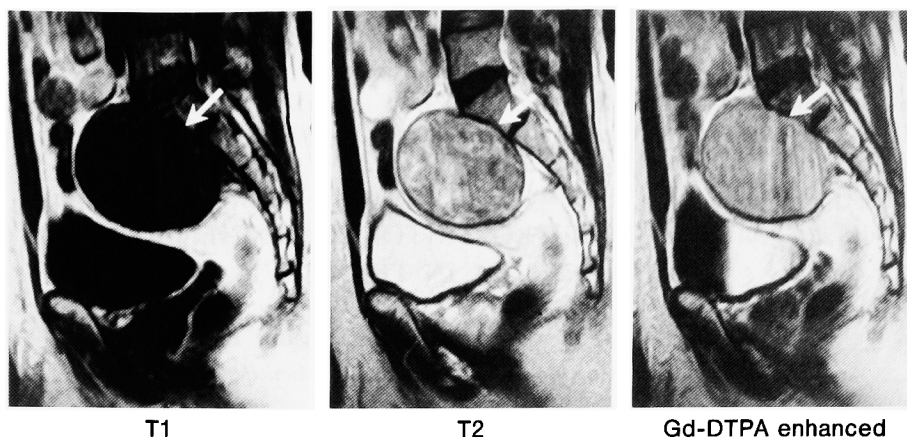


Fig. 2. Magnetic resonance imaging revealed an encapsulated tumor, showing low intensity on the T1-weighted image, heterogeneously high intensity on the T2-weighted image and the tumor homogeneously enhanced with Gd-DTPA (arrow) (Sagittal section).

より腫瘍全体が造影された (Fig. 3). 動脈造影では、右内腸骨動脈は腫瘍の右側に、正中仙骨動脈は腫瘍の左側に円弧状に蛇行し、encasement ははっきりせず、この2本の動脈の分枝は腫瘍に分布していた (Fig. 4).

治療経過：以上の所見から、schwannoma, leiomyoma, sarcoma などの間葉系腫瘍を疑い、2000年4月27日、下腹部正中切開で腫瘍摘除術を行った。腫瘍は膀胱後背側の後腹膜腔に存在し、腫瘍と周囲組織とは比較的容易に剝離可能であったが、仙骨前面の剝離は盲目的な操作となった。また、右内腸骨動脈は腫瘍と強く癒着していたため、結紮した。膀胱や尿管との癒着はなく、明らかな神経との連続性は確認できな

かった。

摘除標本：摘除標本の重量は 180 g、直径 8×7 cm の球形の腫瘍で、表面は平滑、断面は黄白色調を呈していた。

病理学組織検査：HE 染色では紡錘形細胞が錯走し、Antoni-A, B の部分も認めた。また、泡沫細胞が多数見られ、一部に嚢胞形成も認めた。強拡大像では一部の紡錘形細胞の核には軽度異型や、クロマチンの濃染を認め、大型核も認めた (Fig. 5)。S-100 染色では紡錘形細胞の細胞質が強く染色された。以上の所見より、ancient schwannoma と診断した。術後8カ月を経過して、再発、転移、下肢の知覚障害は認めず、現在、外来経過観察中である。

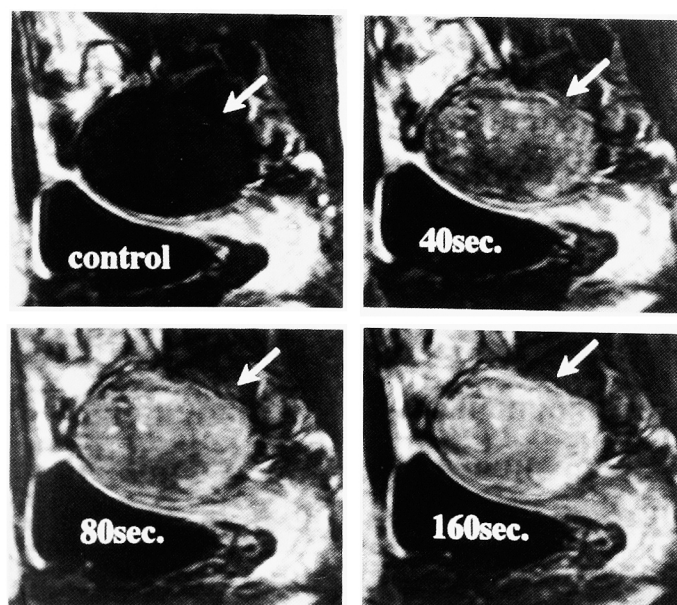


Fig. 3. Dynamic magnetic resonance imaging revealed a heterogeneous tumor in the early phase (arrow) (Sagittal section).

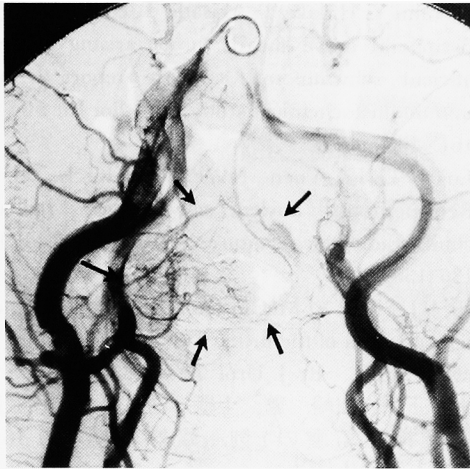


Fig. 4. The selective aortography showed a tumor with hypervascularity on the right side (arrows).

考 察

Ancient schwannoma は1951年に Ackerman らが schwannoma の亜型として報告したのが最初である³⁾ この疾患は degenerated schwannoma (neurilemoma) ともいわれ, schwannoma の長期経過による二次的な変化が原因といわれている⁴⁻⁶⁾ 病理学的には, 核の異型, クロマチン濃染がみられ, 泡沫細胞や炎症細胞の浸潤, 石灰化, 嚢胞形成, 硝子化などが見られるのが特徴である⁴⁻⁶⁾ 本症例はこれらの病理学的特徴をほぼすべて有していた. 核の異型を伴うことから, schwannoma の malignant transformation や, 他の間葉系悪性腫瘍との鑑別が重要であるが, 臨

床的には通常の schwannoma と同様に予後良好とされている⁴⁻⁷⁾ 悪性化例は稀で, われわれの検索し得たかぎりでは耳鼻科領域で2例, 外科領域で1例報告を認めるのみであった⁸⁻¹⁰⁾ また, 耳鼻科, 皮膚科, 整形外科領域で多く報告されているが^{8, 19, 21)}, 後腹膜発生例は稀で, われわれの検索し得たかぎりでは本症例も含め, 11例の報告がみられるのみであった¹¹⁻²⁰⁾

後腹膜発生 ancient schwannoma の男女比は, 8対2 (不明1例) で男性に多く, 平均年齢は64.6歳 (46-88) であった. 通常の後腹膜発生 schwannoma の報告では, 性差はなく, 好発年齢が40代後半から50代前半であるのに比べ^{1, 2)}, 男性に多く, やや発症年齢が高い傾向を認めた. 腫瘍発生部位では腹部後腹膜腔が6例と最も多く¹¹⁻²⁰⁾, 腎¹⁶⁾, 膀胱発生例¹²⁾もみられた. また, 術前に針生検で診断可能であったとの報告もみられたが¹⁹⁾, 核の異型を伴うことから, 肉腫などの悪性腫瘍と診断される危険性もあるため, 注意が必要である¹¹⁾

画像所見では, 記載のあった9例中, 5例に石灰化像が認められている. 超音波, MRI, CT 検査では schwannoma の所見と大差はなかったが^{1, 2, 20)}, 嚢胞, 石灰化の頻度が高いことから比較的内部構造が不均一となっている場合が多いようであった¹¹⁻²⁰⁾ 血管造影では, 記載のあった4例では, hypervascular と hypovascular とが半々であったが, 他科領域の報告例では hypervascular の症例が多いとの記載がみられた⁷⁾ 本症例の画像所見では内部構造が不均一で, 血流が豊富であることが諸家の報告と一致していた. 以上のような画像上の特徴がみられたが, 画像診

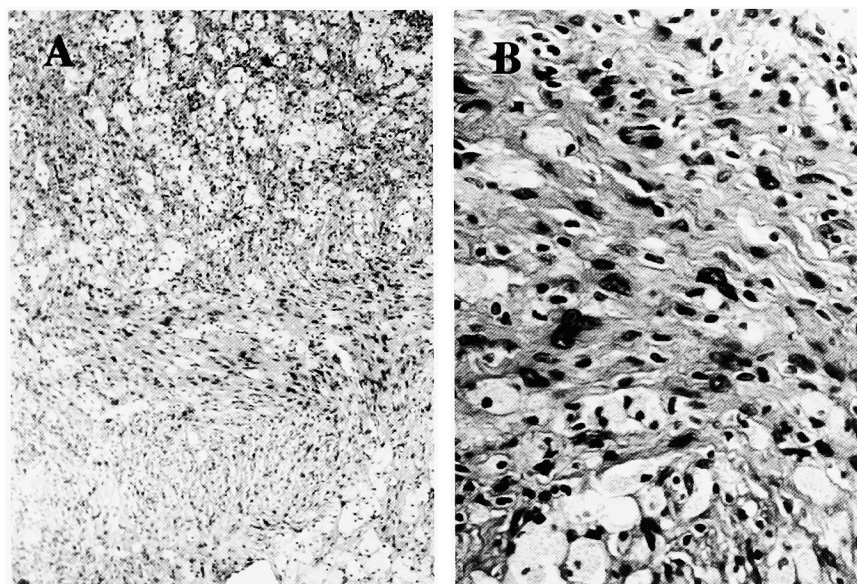


Fig. 5. Microscopic appearance. In A, haematoxylin and eosin-stained section shows a tumor composed of spindle cells with foam cells and small cysts (×100). In B, The tumor stroma displays atypical and hyperchromatic nuclei without mitosis. (×400).

断で ancient schwannoma と確診することは現時点では困難であるのが実状で、さらなる症例の蓄積が必要と思われた。

結 語

検診にて偶然発見された骨盤内後腹膜発生 ancient schwannoma の1例を報告した。

文 献

- 1) 前田信之, 吉田隆夫, 樋口善英: 後腹膜神経鞘腫の1例—診断と治療における MRI の有用性—. 泌尿紀要 **46**: 173-175, 2000
- 2) 福原 浩, 田中良典, 亀山周二, ほか: 後腹膜神経鞘腫の1例. 西日泌尿 **61**: 146-148, 1999
- 3) Ackerman LV and Taylor FH: Neurogenous tumors within the thorax: a clinicopathological evaluation of forty-eight cases. *Cancer* **4**: 669-691, 1951
- 4) Enzinger FM and Weiss SW: Degenerated neurilemoma (ancient schwannoma). In: *Soft tissue tumors*. pp.595-597, The CV Mosby Company, St Louis, 1983
- 5) Dahl I: Ancient neurilemmoma (schwannoma): *Acta Path Microbiol Scand* **85**: 812-818, 1977
- 6) Argenyi ZB, Balogh K and Abraham AA: Degenerative ("ancient") changes in benign cutaneous schwannoma. a light microscopic, histochemical and immunohistochemical study. *J Cutan Pathol* **20**: 148-153, 1993
- 7) Schultz E, Sapan MR, McHefey-Atkinson B, et al.: Case report 872. *Skeletal Radiol* **23**: 593-595, 1994
- 8) Hanada M, Tanaka T, Kanayama S, et al.: Malignant transformation of intrathoracic ancient neurilemoma in a patient without von Recklinghausen's disease. *Acta Pathol Jpn* **32**: 527-536, 1982
- 9) Rasbridge SA, Browse NL, Tighe JR, et al.: Malignant nerve sheath tumour arising in a benign ancient schwannoma. *Histopathology* **14**: 525-528, 1989
- 10) Mikami Y, Hidaka T, Akisada T, et al.: Malignant peripheral nerve sheath tumor arising in benign ancient schwannoma: a case report with an immunohistochemical study. *Pathol Int* **50**: 156-161, 2000
- 11) Loke TKL, Yuen NWF, Lo KKL, et al.: Retroperitoneal ancient schwannoma: review of clinico-radiological features. *Australas Radiol* **42**: 136-138, 1998
- 12) Ng KJ, Sherif A, McClinton S, et al.: Giant ancient schwannoma of the urinary bladder presenting as a pelvic mass. *Br J Urol* **72**: 513-514, 1993
- 13) 十倉正朗, 川崎 繁, 土壁 浩, ほか: 後腹膜変性型神経鞘腫の1例. 臨外 **52**: 1609-1612, 1997
- 14) 児島完治, 西 光雄, 津村 眞, ほか: 小さな後腹膜神経鞘腫の2例—超音波所見と病理所見の対比—. 超音波医学 **23**: 37-44, 1996
- 15) 木村 理, 内田宏昭, 藤井 真, ほか: 膝頭神経叢第Ⅱ部に発生した ancient schwannoma の1例. 胆と膝 **17**: 790-791, 1996
- 16) Bezzi M, Orsi F, Rossi P, et al.: Nonencapsulated ancient schwannoma of the renal sinus. *Am J Roentgenol* **166**: 1498, 1996
- 17) 松森保道, 本田純子, 三好孝典, ほか: 稀な病理学的所見を呈した後腹膜神経鞘腫の1例. 四国医誌 **55**: 195, 1999
- 18) Hennigan TW, Branfoot AC and Theodorou NA: Ancient neurilemmoma of the pelvis. *JR Soc Med* **85**: 416-417, 1992
- 19) Dodd LG, Marom EM, Dash RC, et al.: Fine-needle aspiration cytology of "ancient" schwannoma. *Diagn Cytopathol* **20**: 307-311, 1999
- 20) 二谷立介, 岡本政弘, 島田勝夫, ほか: 後腹膜神経鞘腫の画像所見. 日本医放線会誌 **58**: 838, 1998
- 21) Nakayama H, Gobara R, Shimamoto F, et al.: Ancient schwannoma of the oral floor and ventricular portion of the tongue: a case report and review of the literature. *Jpn J Clin Oncol* **26**: 185-188, 1996

(Received on November 8, 2000)
(Accepted on January 15, 2001)